

ГИДРОДИНАМИКА И ТЕПЛООБМЕН В ЦИЛИНДРИЧЕСКИХ КАНАЛАХ ВЫСОКОТЕМПЕРАТУРНЫХ ГАЗОВЫХ РЕАКТОРОВ

Введение

Высокотемпературные газоохлаждаемые реакторы (ВТГР) как на быстрых, так и на тепловых нейтронах соответствуют требованиям программы GIF-IV по разработкам ядерных систем четвертого поколения [1, 2]. Ядерные энергетические системы IV-го поколения способны рециклировать большинство опасных составляющих ядерного топлива, существенно снижать количество высокоактивных отходов, подлежащих захоронению.

Возрастание интереса к ВТГР связано не только с вышеуказанными преимуществами, а также с тем, что сейчас может возникнуть необходимость в высокотемпературной теплоте для производства водорода, газификации угля и производства синтетических газов. Реакторы с водяным и жидкокометаллическим охлаждением в этих областях не могут составить конкуренцию ВТГР.

Для реализации вышеизложенных задач в США, Японии, Франции, России и других странах проводятся работы по созданию ВТГР, которые не прекращаются с 50 – х годов прошлого столетия.

Основными проблемами при создании ВТГР специалисты считают разработку замкнутого топливного цикла, создание конструкционных материалов для теплообменных устройств, которые смогли бы работать при температуре 1000°C, а также нахождение путей интенсификации теплообмена.

Одним из путей повышения эффективности ЯЭУ ВТГР является подбор теплоносителей, которые по своим теплофизическим и ядерным свойствам были бы оптимальными для обеспечения наивысшего КПД установки.

Газы практически не активируются, их коррозионная стойкость невелика, поэтому не требуются дорогостоящие материалы. Характерной их особенностью является то, что их можно использовать в качестве теплоносителя и рабочего тела ЯЭУ при высоких температурах, при этом достигается высокий КПД. Также они обладают малым сечением захвата нейтронов.

В качестве газовых теплоносителей используют углекислый газ (CO_2) гелий (He) и диссоциирующие газы. Использование водорода и воздуха ограничено из соображений техники безопасности.

CO_2 достаточно часто используют в реакторах на тепловых нейтронах, так как этот газ имеет малое сечение нейтронов, инертен при умеренных температурах, нетоксичен и, что не менее важно, приемлем с экологической точки зрения. В Великобритании накоплен большой опыт работы с CO_2 в качестве теплоносителя (20% электроэнергии производят реакторы AGR с газовым теплоносителем) [3].

Воздух как теплоноситель газоохлаждаемого реактора не находит широкого применения ввиду его агрессивности при высоких температурах, довольно высокого сечения поглощения нейтронов, возникновения наведенной активности при прохождении через активную зону реактора.

Использование He в качестве теплоносителя на сегодняшний день является вне конкуренции если учитывать, что углекислый газ обладает химической активностью при высоких

температурах [4]. Гелій як теплоноситель має по відношенню до інших газів ряд переваг: високу теплоемкість та теплопровідність (теплопровідність гелію в 5...6 раз превышає теплопровідність більшості газів) та коефіцієнт теплоотдачі гелію при однакових Re в 5...6 раз вище, ніж у інших газів, термічну та радіаційну стійкість, хімічну стабільність та інертність до конструкційних матеріалів, мінімальне сечение поглинання нейтронів.

Використання гелію як робочого тіла в гелієвих турбоустановках дозволяє підвищити КПД енергоустановки при дальнішому підвищенні температури гелію на виході з реактора. Так, при температурі гелію 900°C КПД (нетто) досягає 45%, при $1000^{\circ}\text{C} - 50\%$ [2].

Получення температур гелію на виході з реактора на рівні 1000°C дозволить в енергетичних установках отримати цілий ряд енергомеханічних процесів, що вимагають високопотенційної теплоти. Існує декілька можливостей використання гелію з температурою 1000°C в технологічних процесах, наприклад: для конверсії метану, отримання чистого водороду, газифікації бурого углем, крекингу процеса тяжільких фракцій нафти, виробництва синтетичних газів.

Хімічна інертність гелію та можливість високої ступені очистки від примесей в реакторах ВТГР дають можливість не використовувати сталі в ролі захисних покриттів. Це дає можливість використовувати керамічне монокарбідне ядерне топливо з піроуглеродним або карбідокремнієвим або ванадієвим захисним покриттям.

Також до переваг використання гелію як теплоносителя можна віднести:

- можливість використання в ролі топлива карбіди урану та плутонію, що дає значуще збільшення коефіцієнта воспроизводства по відношенню до окисного топливом;
- нулева активність гелію;
- відсутність значущого замедлення імпульсів швидких нейтронів при проходженні через активну зону реактора;
- здатність до утримання продуктів деління в микротвілах з керамічними захисними шарами при великих значеннях глибини горіння;
- можливість непосредственного охолодження микротвілов газовим теплоносителем.

Основний недостаток гелієвого теплоносителя – труднотість відвода тепла остаточного тепловыделення в аварійних ситуаціях при втраті герметичності основним контуром, та труднотість досягнення високої об'ємної питомої потоку при пристемельних затратах енергії на циркуляцію газового теплоносителю.

Математична модель

Целью цієї статті є апробування математичної моделі гідродинаміки та теплообмену при теченні теплоносителів в циліндрических каналах ВТГР:

$$\frac{\partial}{\partial z}(ru_z) + \frac{\partial}{\partial r}(ru_r) = 0; \quad (1)$$

$$p \left(u_z \frac{\partial u_z}{\partial z} + u_r \frac{\partial u_z}{\partial r} \right) = - \frac{\partial p}{\partial z} + \frac{1}{r} \frac{\partial}{\partial r}(r \tau_{rz}) + \frac{\partial}{\partial z}(\tau_{zz}); \quad (2)$$

$$p \left(u_z \frac{\partial u_r}{\partial z} + u_r \frac{\partial u_r}{\partial r} \right) = - \frac{\partial p}{\partial r} + \frac{\partial}{\partial r}(r \tau_{rr}) + \frac{\partial}{\partial z}(\tau_{rz}), \quad (3)$$

де $\tau_{rz} = \mu_{eff} \left(\frac{\partial u_z}{\partial r} + \frac{\partial u_r}{\partial z} \right)$, $\tau_{rr} = (2\mu + \mu_r) \frac{\partial u_r}{\partial r}$, $\tau_{zz} = 2\mu_{eff} \frac{\partial u_z}{\partial z}$ – напруження, які входять в

рівняння (2) та (3), $\mu_{eff} = \mu + \mu_r$.

Рівняння переносу теплоти представлено таким чином:

$$\frac{1}{r} \frac{\partial}{\partial r}(\rho u_r c_p T) + \frac{\partial}{\partial z}(\rho u_z c_p T) = \frac{\partial}{\partial r}(rq_r) + \frac{\partial}{\partial z}(rq_z), \quad (4)$$

де $q_r = \lambda_{eff} \frac{\partial T}{\partial r}$, $q_z = \lambda_{eff} \frac{\partial T}{\partial z}$ – питома тепловий поток, $\lambda_{eff} = \lambda + \lambda_r$.

Рівняння кінетичної енергії турбулентності має вигляд:

$$\frac{1}{r} \frac{\partial}{\partial r}(\rho u_r k) + \frac{\partial}{\partial z}(\rho u_z k) = \frac{1}{r} \frac{\partial}{\partial r} \left(r \frac{\mu_{eff}}{\sigma_k} \frac{\partial k}{\partial r} \right) + \frac{\partial}{\partial z} \left(\frac{\mu_{eff}}{\sigma_k} \frac{\partial k}{\partial z} \right) + G_k - \rho \epsilon. \quad (5)$$

Последнє рівняння для завершення математичної моделі – рівняння для швидкості

дисипации энергии:

$$\frac{1}{r} \frac{\partial}{\partial r} (\rho u_r \varepsilon) + \frac{\partial}{\partial z} (\rho u_z \varepsilon) = \frac{1}{r} \frac{\partial}{\partial r} \left(r \frac{\mu_{\text{eff}}}{\sigma_{\varepsilon}} \frac{\partial \varepsilon}{\partial r} \right) + \frac{\partial}{\partial z} \left(\frac{\mu_{\text{eff}}}{\sigma_{\varepsilon}} \frac{\partial \varepsilon}{\partial z} \right) + \frac{(C_1 \varepsilon G_k - C_2 \rho \varepsilon^2)}{k}, \quad (6)$$

где $G_k = \mu_t \left\{ 2 \left(\frac{\partial u_z}{\partial z} \right)^2 + 2 \left(\frac{\partial u_r}{\partial r} \right)^2 + 2 \left(\frac{u_r}{r} \right)^2 + \left(\frac{\partial u_z}{\partial r} + \frac{\partial u_r}{\partial z} \right)^2 \right\}$, $\sigma_k = 1,0$, $\sigma_s = 1,3$, $C_1 = 1,40$,

$C_2 = 1,95$.

Турбулентная вязкость k - ε – модели: $\mu = C_{\mu} \frac{k^2}{\varepsilon}$.

Границные условия для цилиндрического канала с внутренним радиусом r задаем следующим образом:

$$u_z = u_0, \quad u_r = 0, \quad T = T_0, \quad Tu = 5\% \text{ при } z=0,$$

$$u_r = u_z = 0, \quad T = T_{\text{ср}}, \quad k = 0, \quad \varepsilon = \mu \left(\frac{\partial u_z}{\partial r} \right)^2 \text{ при } r=r_{\text{тр}},$$

где $Tu = \frac{1}{u_0} \sqrt{k}$, $k = \frac{\overline{u'^2} + \overline{u_z'^2}}{2}$.

Уравнения состояния газов:

- для воздуха и углекислого газа – $\left(p + \frac{a}{U^2} \right) (U - b) = RT$;
- для гелия – $v = \frac{RT}{p} - a \left[10T_0 - T \left(1 - 11e^b \sqrt[4]{pT} \right) \right]$, где a и b – константы, $T_0 = 273$ К.

Метод расчета

Расчетным методом для данной задачи был выбран метод контрольного объема, который ближе к физике моделируемых процессов. Он базируется на физических законах макромира, а не на использовании абстракций математического аппарата непрерывных функций. И в этом его главное преимущество перед другими методами. В качестве алгоритма расчета был выбран алгоритм SIMPLER, описанный в работе [6]. Выбор этого алгоритма обусловлен следующими соображениями:

1. Решение, получаемое при реализации алгоритма, сразу является сходящимся.
2. SIMPLER строит поле давлений по заданному полю скоростей, а не использует предполагаемые давления.
3. В тех случаях, когда поле скоростей окажется точным, в алгоритме SIMPLER уравнение для давления дает точное поле давлений, и нет необходимости в дополнительных итерациях.

Результаты расчета

Расчеты для ламинарного режима течения проводились при следующих численных значениях параметров: $Re = idem = 1500$, $u_{\text{возд}} = 0,1155$ м/с, $u_{\text{He}} = 0,829$ м/с, $u_{\text{CO}_2} = 0,055$ м/с, $T_r = 20^\circ\text{C}$, $T_{\text{ср}} = 220^\circ\text{C}$. Разные скорости для разных газов обеспечивали постоянство числа Рейнольдса.

Результаты расчета профилей скорости по длине канала в трех его разных сечениях при ламинарном режиме течения получены на основе приведенной выше математической модели и показаны на рис.1. Как видно из приведенных рисунков по мере продвижения газового потока профили скоростей деформируются и становятся менее заполненными. Наименее деформируется профиль скорости при течении гелия. Это связано с тем, что численные величины его физических параметров существенно отличаются от этих же параметров воздуха и углекислого газа (особенно плотность при одинаковых условиях). В связи с вышесказанным для стабилизации профиля скорости гелия нужен более длинный разгонный участок.

Расчеты для турбулентного режима течения проводились при следующих численных значениях параметров: $Re = idem = 20000$, $u_{\text{возд}} = 0,77$ м/с, $u_{\text{He}} = 5,68$ м/с, $u_{\text{CO}_2} = 0,37$ м/с, $T_r = 20^\circ\text{C}$, $T_{\text{ср}} = 220^\circ\text{C}$. Как и в случае ламинарного режима течения различные скорости для различных газов обеспечивали постоянство числа Рейнольдса.

На рис. 2 представлены аналогичные профили распределения скорости при турбулентном режиме течения. Эти данные также получены на основе приведенной математической модели. Характер изменения профилей скорости по длине цилиндрического канала при турбулентном

режиме течения для трех газов отличается незначительно, поскольку в данном случае на характер развития потока более сильное влияние оказывает турбулентная природа течения, а не свойства теплоносителя. Это приводит к тому, что зона стабилизации профиля скорости у различных газовых теплоносителей практически совпадает.

На рис.3а и 3б представлено распределение коэффициента теплоотдачи по длине канала при ламинарном и турбулентном режиме течения.

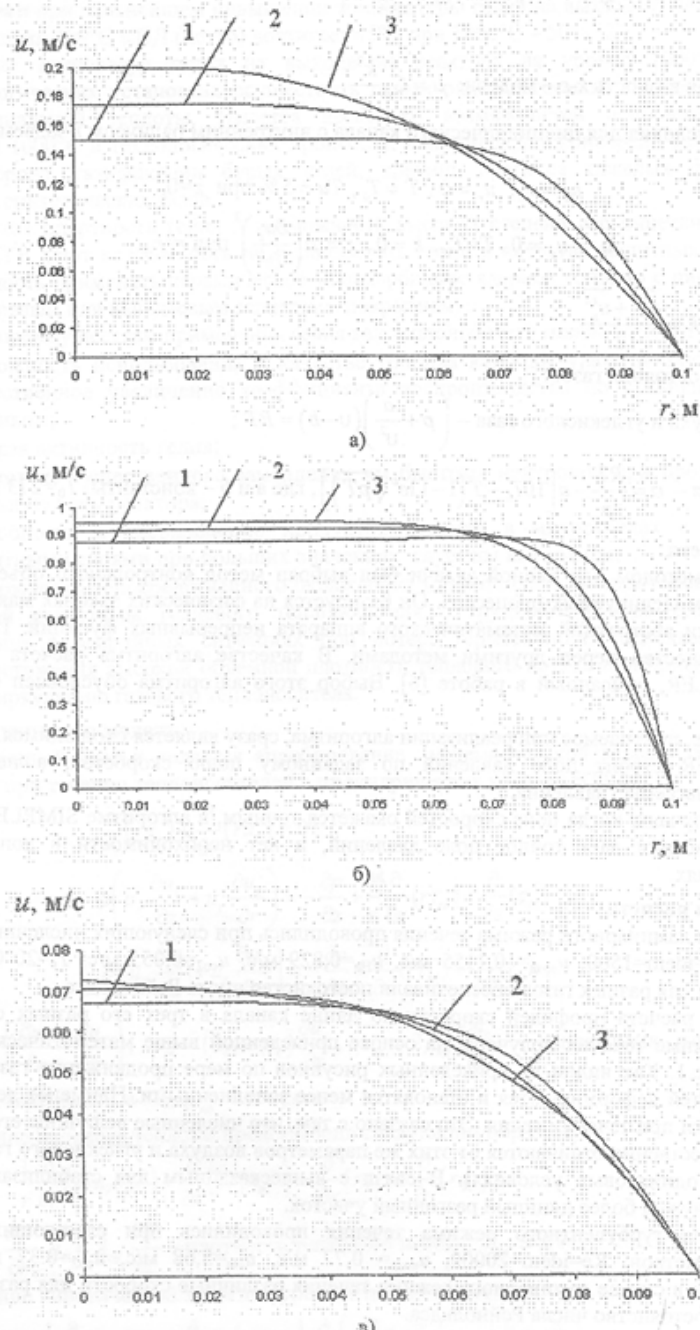


Рис.1. Распределение профилей скорости при ламинарном режиме течения:

а) – воздух, б) – He, в) – CO₂ в разных сечениях канала: 1) z=1 м, 2) z=3 м, 3) z=5 м

Как и следовало ожидать, значения величин коэффициентов теплоотдачи при ламинарном режиме течения меньше, чем при турбулентном. Это обусловлено динамикой изменения градиента температур на стенке. Особенно это заметно в случае течения гелия.

Обобщение результатов расчетов коэффициентов теплоотдачи для турбулентного режима течения с хорошей точностью может быть представлено следующим уравнением:

$$Nu = 0,023 Re^{0.8} Pr^{0.43}, \quad (7)$$

что согласуется с известным критериальным соотношением [7].

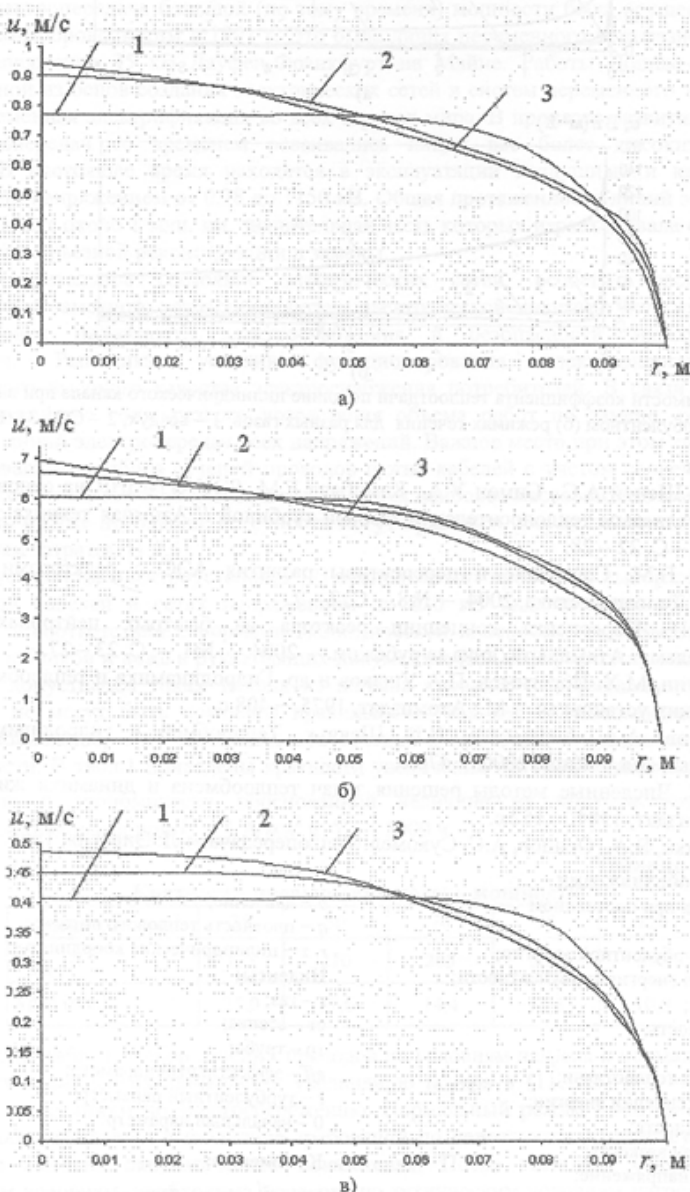


Рис.2. Распределение профилей скорости при турбулентном режиме течения:

а) – воздух, б) – He, в) – CO₂ в разных сечениях канала: 1) $z=1$ м, 2) $z=3$ м, 3) $z=5$ м

Выводы

В данной статье проведено апробацию математической модели теплообмена и гидродинамики в каналах ВТГР, что позволило провести сравнительную оценку использования разных газов в качестве теплоносителей с точки зрения их эффективности. Проведенное

исследование подтверждает тот факт, что гелий является наиболее оптимальным теплоносителем (из рассмотренных) для ВТГР.

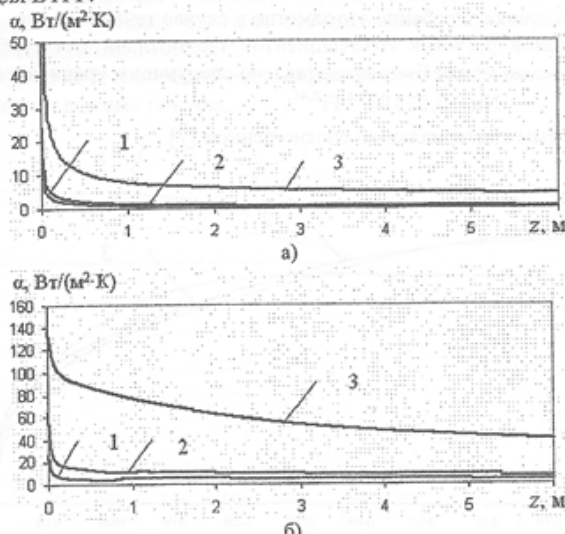


Рис. 3. Зависимости коэффициента теплоотдачи по длине цилиндрического канала при ламинарном (а) и при турбулентном (б) режимах течения для разных газов: 1 – воздух, 2 – CO₂, 3 – He.

Литература

- Лабар М.П., Шеной А.С., Симон У.А., Кэмпбелл Е.М. ЯЭУ GT-MHR на основе модульного реактора с гелиевым теплоносителем и газовой турбиной // Атомная техника за рубежом. – 2005. – №1. – С. 22 – 28.
- Поплавский В.М. Состояние и перспективы развития АЭС с реакторами на быстрых нейтронах // Теплоэнергетика. 2004. – №8. – С. 2 – 9.
- Грэттон К.П. Переоценка концепции реактора на быстрых нейтронах с газовым теплоносителем // Атомная техника за рубежом. – 2004. – №1. – С. 23 – 27.
- В.И. Субботин, М.Х. Ибрагимов, П.А. Ушаков и др. Гидродинамика и теплообмен в атомных энергетических установках. – М.: Атомиздат, 1975. – 408 с.
- А.А. Халатов, А.А. Авраменко, И.В. Шевчук. Теплообмен и гидродинамика в полях центробежных сил. – Киев, 2000. – 476 с.
- Патанкар С. Численные методы решения задач теплообмена и динамики жидкости. – М.: Энергоатомиздат, 1984. – 152 с.
- В.П. Исаченко, В.А. Осипов, А.С. Сукомел. Теплопередача. – Л: Энергия, 1965. – 428 с.

Условные обозначения

c_p – теплоемкость при постоянном

давлении;

G – генерация турбулентной энергии;

k – кинетическая энергия турбулентности;

T – температура;

T_u – турбулентность;

u – скорость;

α – коэффициент теплоотдачи;

ε – скорость диссипации энергии;

λ – теплопроводность;

μ – динамическая вязкость;

τ – касательное напряжение;

ρ – плотность;

v – объем;

ЯЭУ – ядерная энергетическая установка;

ВТГР – высокотемпературный газоохладждающий
реактор

p – давление;

q – плотность теплового потока;

r, z – цилиндрические координаты;

Индексы:

g – газ;

st – стенка;

tr – труба;

eff – эффективный параметр;

t – турбулентный параметр;

0 – начальный параметр.

Комплексы:

$Nu = \frac{\alpha l}{\lambda}$ – число Нуссельта;

$Pr = \frac{\mu c_p}{\lambda}$ – число Прандтля;

$Re = \frac{ud}{v}$ – число Рейнольдса